## Si 上半導体薄膜 DR レーザの高効率・高速変調特性 High Efficiency and High-speed Modulation Characteristics

digh Efficiency and High-speed Modulation Characteristics of Membrane Distributed-Reflector Laser on Si

中村 なぎさ<sup>1</sup>、冨安 高弘<sup>1\*</sup>、平谷 拓生<sup>1\*\*</sup>、井上 大輔<sup>1</sup>、福田 快<sup>1</sup>、瓜生 達也<sup>1</sup>、 雨宮 智宏<sup>1,2</sup>、西山 伸彦<sup>1,2</sup>、荒井 滋久<sup>1,2</sup>

Nagisa Nakamura<sup>1</sup>, Takahiro Tomiyasu<sup>1\*</sup>, Takuo Hiratani<sup>1\*\*</sup>, Daisuke Inoue<sup>1</sup>, Kai Fukuda<sup>1</sup>, Tatsuya Uryu<sup>1</sup>, Tomohiro Amemiya<sup>1,2</sup>, Nobuhiko Nishiyama<sup>1,2</sup>, and Shigehisa Arai<sup>1,2</sup> 東京工業大学 <sup>1</sup>工学院電気電子系、 <sup>2</sup>科学技術創成研究院、

\*現・古河電気工業株式会社、\*\*現・住友電気工業株式会社

Dept. of Electrical and Electronic Eng.<sup>1</sup>, Institute of Innovation Research (IIR)<sup>2</sup>, Tokyo Institute of Technology \*Currently \*Furukawa Electric Co., Ltd., \*\* Sumitomo Electric Industries, Ltd.

E-mail: nakamura.n.ae@m.titech.ac.jp

## 1. はじめに

オンチップ光配線の実現には、低電流駆動(<1 mA)かつ高速直接変調(>10 Gbit/s)動作が可能な極低消費電力半導体レーザが必要である。この要求を満たすため、我々は半導体薄膜 DFB・DRレーザを提案・実現してきた[1,2]。本研究では薄膜 DR レーザにおいて高効率かつ高速動作を実現したので、ご報告する。

## 2. 実験結果及び検討

Fig. 1 に作製した BCB 貼り付け Si 上薄膜 DR レーザの構造を示す。この素子は先行研究[2]と同じ 5 層 GalnAsP 量子井戸(コア厚 270 nm)の初期成長基板上に作製されているが、高効率動作に向けた 2 つの構造変更点がある。光吸収損失の削減のため、再成長された p-InP サイドクラッド層の不純物濃度  $N_A$  は  $2\times10^{18}$  cm<sup>-3</sup> から  $5\times10^{17}$  cm<sup>-3</sup> に低減した。また不純物濃度  $N_A$  の低減による抵抗の増加を補償するため、p 側電極と活性領域間の距離  $W_p$ -actを 3  $\mu$ m から 1.6  $\mu$ m まで短縮した。

Fig. 2 に作製した素子の光出力特性と電圧特性を示す。この素子の DFB 領域長と DBR 領域長はそれぞれ 32  $\mu$ m と 50  $\mu$ m であり、活性層幅  $W_s$ は 0.8  $\mu$ m である。しきい値電流 $I_{th}$ = 0.21 mA(しきい値電流密度  $J_{th}$ = 820 A/cm²)、前端面外部微分量子効率は  $\eta_{off}$  = 32%であり、従来の薄膜 DFB・DR レーザに比べ高効率となった。またバイアス電流 0.64 mA において最大電力変換効率  $\eta_{PCmax}$  = 12%が得られた。W を 0.8  $\mu$ m まで短縮して、さらに AR コーティング等により端面の反射をなくすことにより、 $\eta_{PCmax}$  = 30%まで向上できる可能性がある。

Fig. 3 にこの素子の小信号変調応答における 3dB 帯域幅および 緩和振動周波数を示す。 $f_{3dB}$  および  $f_t$  はそれぞれ 15 GHz/mA $^{1/2}$ 、12 GHz/mA $^{1/2}$ であった。この  $f_t$  は先行研究に比べ高い値が得られている[1]。また 15 Gbit/s 大信号変調において、平均受信電力-0.4dBm における NRZ 信号変調 (PRBS  $2^{31}$ -1) の場合、バイアス電流 1.08 mA、変調電圧 0.522 V で  $5.7 \times 10^{-13}$  の BER が得られた。

謝辞 本研究は、JSPS 科研費 (#15H05763、#25709026、 #15J04654、#15J11776、#16H06082、#17H03247)、JST-CREST (JPMJCR15N6) の援助により行われた。

## 参考文献

- [1] D. Inoue et al., *Optics Express*, vol. 24, no. 16, pp. 18571-18579, July. 2016.
- [2] T. Hiratani et al., Appl. Phys. Express, vol. 10, no. 3, 032702, Feb. 2017.

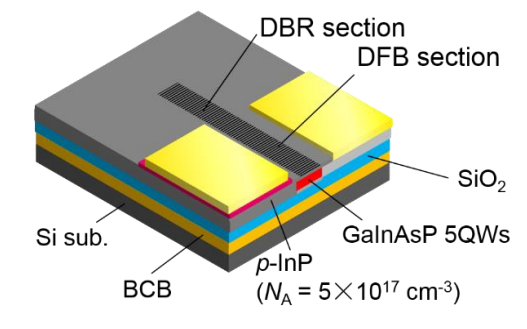


Fig. 1 Schematic of membrane DR laser.

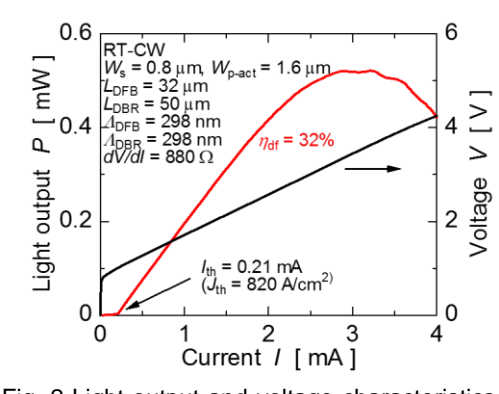


Fig. 2 Light output and voltage characteristics of membrane DR laser.

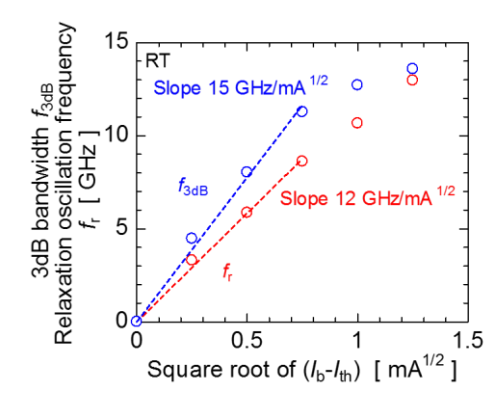


Fig. 3 3dB bandwidth and relaxation oscillation frequency obtained from small signal modulation response.